

# I-137 多径間キャットウォークの完成形状の修正について

(株) 神戸製鋼所	正員	岡田 勝
(株) 神戸製鋼所	正員	中西 宏
(株) 神戸製鋼所	正員	波田 凱夫

## 1. まえがき

すでに、長大橋架設に用いられるキャットウォークの設計計算法について若干の報告を行なってきた<sup>1)</sup>。これらの中法により、活荷重や温度変化をうける時のキャットウォークの変形を求めることができる。実際キャットウォークを架設するにあたっては施工上種々の解析や計算が必要となる。本報は、施工誤差に注目して、完成形状をいかに修正するかという問題をとりあげたものである。

一般に、キャットウォークの架設完了直後の形状は、ローラーの製作誤差あるいは架設誤差等により目標とする形状から差を生じており、その差は各ローラー端をひきこむがあるにはくり出すことにより修正される。そこで、本報では、①滑動する格点を有するケーブル構造の変形をエネルギー法を用いて解析し、②その結果を応用して、部材長修正時の形状解析を行なう。ついで、③膜理論に基づいた多径間キャットウォークの近似変形解析にローラー長修正時の形状解析の機能を付加し④の解析値と比較する。また、④実際の形状修正に即して、誤差修正量を与えて望ましい部材長修正量(ひきこみ量)を求める解析を行なった。

## 2. 滑動格点を有するケーブル構造の解析

記号を次のように定義する。

$\sigma$ :応力,  $\epsilon$ :ひずみ,  $E$ :弾性係数,  $A$ :部材断面積,  $P$ :部材力,  $l$ :部材無応力長,  $L$ :格点間距離,  $X_{Si}$ :格点  $i$  における部材の滑動量で図1 Kにおいて、部材Mの端部が左から右へ移動する場合を正とする。添字○は滑動前の状態を示す。

部材が格点  $i$ ,  $i-1$  K においてそれぞれ  $X_{Si}$ ,  $X_{Si-1}$  滑動したときの状態を図1 K 示す。滑動時に摩擦によるエネルギー損失がないとする、部材Mのひずみエネルギー  $U_m$  は次式で表わされる。

$$U_m = \left[ \int_V f_0^{\epsilon - \epsilon_0} (\sigma_0 + E\epsilon) d\epsilon dv \right]_m \quad ①$$

①式を積分すると

$$U_m = [P_0(e - e_0) + \frac{EA}{2} (e - e_0)^2]_m \quad ②$$

となる。ここに、

$$\epsilon_m - \epsilon_{om} = L - L_0 - X_{Si-1} + X_{Si} \quad ③$$

である。ただし、 $L_0 = l_m + e_{om}$  である。また、 $\Delta X$ ,  $\Delta Y$ ,  $\Delta Z$  を変形前の両端格点( $i$ ,  $i-1$ )の座標差のX, Y, Z成分、 $\Delta x$ ,  $\Delta y$ ,  $\Delta z$  を両端格点での各方向の変位差とすると

$$L - L_0 = \sqrt{(4X + \Delta X)^2 + (4Y + \Delta Y)^2 + (4Z + \Delta Z)^2} - \sqrt{4X^2 + 4Y^2 + 4Z^2} \quad ④$$

となる。<sup>④</sup>式を変位に関してテーラー展開して<sup>③</sup>式に代入し、さらに、<sup>②</sup>式に代入することにより、ひずみエネルギーは変位と滑動量の4次の関数として表わされる。また、全ポテンシャルエネルギーも同様の関数で表わされる。つり合い状態は全ポテンシャルエネルギー最小の原理によて求められるが、すべての部材力が正の場合、 $\epsilon$  は変位および滑動量に関し凸関数となり、つり合い状態は唯一であることが証明されている。この詳細については文献1)を参照されたい。

## 3. エネルギー法による部材長修正時の形状解析

部材長修正量  $X_S$  は部材長に比較して十分に小さく近似的に  $l = l \pm X_S$  と考える。また、部材端の格点を滑動格点とみなし、 $X_S$  を強制滑動量として与えることにより、2.と述べた方法を応用できる。

## 4. 近似手法による形状修正解析(膜理論)

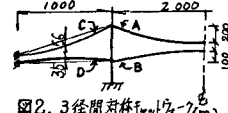
キャットウォークローラーあるいはストームローラーのローラー長を  $X_S$  修正した後のローラーの水平張力  $H_S$  は 2., 3. と同様の考え方により

$$H_S = H_0 + \frac{EA}{2} (\Delta L + X_S) \quad ⑤$$

となる。ここで、 $H_0$  は形状修正前のローラー水平張力、 $\Delta L$  は形状修正前後のローラー長差、 $l$  はローラー無応力長であり、 $X_S$  はローラー長が短くなる方向を正とする。これをつり合い式と連立させて解く。これらの詳細は文献2)を参照されたい。

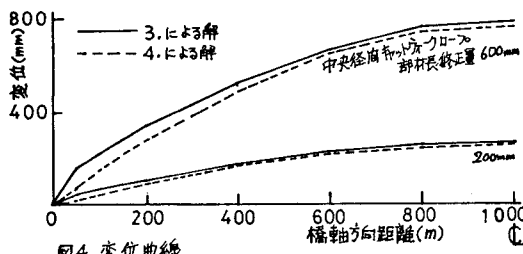
## 5. 計算例

上述の3.および4.の論議に



より解析例について述べる。計算モデルとして、図2に示す3径間対称キャットウォーク(鉛直ハンガー、間隔50m)を選び、中央径間キャットウォークの端部の部材について部材長の修正量を変化させたときの解を図3に示す。図により、正および負の部材長修正とも同様の傾向を示してあり、塔頂変位および側径間サゲの変位については両者は良い精度で一致している。中央径間のサゲの変化については、誤差は約2%であった。また、図には表われていないが、各径間のロープ張力の増分の誤差は、中央径間キャットウォークで1%以下、側径間の同ロープで3~4%であった。これららの結果より、近似解は実用に供し得ると判断できる。

次に、両解析による変位曲線を比較する。図3の部材修正量200mmと600mmの場合の中央径間キャットウォークの変位曲線を両解析値について図4に示す。実線が3.の結果、破線が4.の結果である。両曲線を比較すると、橋軸方向50mのところで両曲線の差が大きい。この位置は、ロープ端よりオーナメントハンガーロープ位置であり、その影響であると考えられる。4.では、変位が放物線で仮定されているため、局部的な変形は解析できない。また、部材長修正量の増加とともにその差も増大する。



#### 6. 多径間キャットウォークの施工時の形状修正計算

実際のキャットウォークの施工においては、架設完了後に塔頂の位置とキャットウォークのサゲを測量して、それらが目標値と合致しているかどうかを照査するのが常である。キャットウォークの形状が目標値からはずれている場合には、各径間のロープ端部をひきこむかくり出

すことにより形状の修正が行なわれる。以下の解析は、そのようにして多径間キャットウォークの形状修正を行なうのに、各ロープの望ましい修正量を決定するための一つの方法を示すものである。

キャットウォークの径間数を $m$ とするとき、部材長修正の可能な部材(キャットウォーク、ストームロード端等)、ロープ端端で同一量修正する)の数は $2m$ 個あり、また、形状修正のための目標値(塔頂位置およびサゲ)の数は $n \leq (2m-1)$ である。図3により、部材長修正量と形状修正量の関係は近似的に線型とみなせるので、単位量の部材長修正による形状修正量を要素とする係数行列により、未知数 $2m$ 個に対し $n$ 個の方程式が得られる。これによると、 $(2m-n)$ 個の未知数( $X_{SI}$ )は任意に定まる。そこで、部材長修正量に、その個所の作業性等に起因する望ましさの程度、すなわち「おもみ」を付け、そのおもみ付き部材長修正量の合計を最小とするという条件から最適修正量を決定する。そのために、まず目的関数

$$W = \|Q_0 X_{S0}\|^2 + \|Q_1 X_{S1}\|^2 \quad ⑥$$

を定義する。すなわち、おもみ $Q$ を付された部材長修正量 $X_{S0}, X_{S1}$ の2乗和をとる。具体的には、部材長修正量を小さくおさえたい個所では $Q$ を大にする。 $W$ の停留条件を求めることにより、 $(2m-n)$ 個の方程式

$$\frac{\partial W}{\partial X_{S1}} = 0 \quad ⑦$$

が得られる。これにより、各ロープ端の望ましい修正量(ひきこみ量)が一意的に得られる。

図2のモデルに形状修正量を与えて必要な $X_{S1}$ の計算を行なった。まず、図2のA,B,C,Dの $X_{S1}$ のすべてにおもみ1を付け必要な $X_{S1}$ を求め、その $X_{S1}$ を基準として、B,C,Dのおもみは1のまま、Aのおもみのみを漸増した。このとき、必要な $X_{S1}$ がどのように変化するかを示したのが図5である。図より、Aのおもみを大きくするとAの $X_{S1}$ は小さくなり、その影響により、B,C,Dのおもみを基準とした場合の $X_{S1}$ が大きくなる。

#### 参照文献

- 1) 波田雅彦: イネルギ法によるケーブル構造の解析 土木学会第26回年次学術講演会
- 2) 国田中西、波田: 塔の剛性を考慮した多径間キャットウォーク並列変形解析 図表31回